

## مقاله علمی – پژوهشی:

**بررسی هپاتوتوکسیک ماهیان طلایی (*Carassius auratus*) در تیمار با دی – اتیل فتالات (DEP)**مهران عربی\*<sup>۱</sup>، سعید کاظمی حسین آبادی<sup>۱</sup>، علی عربی<sup>۲</sup>

\*mehranarabi@hotmail.com

- ۱- گروه علوم جانوری، دانشکده علوم پایه، دانشگاه شهرکرد، شهرکرد، ایران
- ۲- واحد R&D شرکت سروش رویش سلامت بام ایرانیان، شهرکرد، ایران

تاریخ پذیرش: خرداد ۱۴۰۰

تاریخ دریافت: دی ۱۳۹۹

**چکیده**

استفاده گسترده از دی – اتیل فتالات (DEP) به عنوان نرم کننده<sup>۱</sup> در محصولات پلاستیکی، یک خطر جدی برای سلامت موجودات زنده می باشد، زیرا امکان نشت و ورود آن به محیط اطراف وجود دارد. در این مطالعه به بررسی هپاتوتوکسیسیته ناشی از تیمار با DEP در ماهیان طلایی (*Carassius auratus*) پرداخته شده است. مقدار LC<sub>50</sub> حد ۹۶ ساعته با استفاده از آنالیز Probit به میزان  $\geq 4$  mg/L تعیین گردید. سه غلظت زیر حد کشندگی  $1/5^{th}$ ،  $1/10^{th}$  و  $1/20^{th}$  از DEP LC<sub>50</sub> برای ۷ و ۱۴ روز مورد استفاده قرار گرفتند. نمونه های خون و کبد خارج شده و از کبد پس از پرفیوژن با سالین، هوموژنیت تهیه شد. در این مطالعه محتوی پراکسیداسیون لیپیدی (LPO/MDA) به عنوان شاخص اختلالات غشایی، محتوی پروتئین های کاربولینه (CP) و سطوح ALT و AST (مارک های نکرز کبدی) افزایش یافتند. همچنین ظرفیت آنتی اکسیدانی تام (TAC) هوموژنیت کبدها کاهش یافت. خلاصه آن که، DEP موجب هپاتوتوکسیسیته در ماهیان مورد آزمایش از طریق القاء استرس اکسیداتیو و متعاقب آن بروز ناپایداری در غشاهای سلولی شده است.

**کلمات کلیدی:** فتالات، ماهی، استرس اکسیداتیو، آنتی اکسیدان ها، مارک های نکرز کبدی<sup>1</sup> Plasticizer

## مقدمه

امروزه با رشد فزاینده عرضه و تقاضا برای محصولات پلاستیکی، دفع و رهایش ذرات سازنده این مواد سنتتیک به محیط زیست نیز رو به فزونی گذاشته است. استرهای اسید فتالیک (PAEs) با نام عمومی فتالات<sup>۱</sup> در محصولات متنوع پلاستیکی (PVC) به عنوان نرم کننده و شفاف کننده مورد استفاده قرار می گیرند. بررسی ها نشان داده است که بین ذرات PAEs و سایر ذرات سازنده پلاستیک پیوندهای ضعیفی وجود دارد و به همین علت، تحت شرایط خاص نظیر تغییرات دما و فشار، ذرات PAEs به راحتی از محل استقرار خود جدا می شوند و به محیط اطراف به ویژه به درون اکوسیستم های آبی راه پیدا می کنند. در محیط های آبی کشورهای در حال توسعه، غلظت کلی فتالات ها گاهی از ۲۰۰ میکروگرم در لیتر نیز بالاتر می رود. فتالات ها از مسیر پوست، آبخش و سیستم گوارش همراه با غذا جذب بسیاری از بافت های بدن بیش تر آریزان می شوند (US EPA, 1993 & 1980). سالانه در حدود ۳ میلیون تن از مشتقات PAEs در صنایع مختلف استفاده می شوند (Golestanzadeh *et al.*, 2019). میزان فراریت PAEs بسیار کم است، لذا پس از ورود به محیط های آبی و به علت ماندگاری زیاد در آب، به راحتی می توانند به بدن موجودات زنده راه یافته و برخی آسیب های بافتی را ایجاد نمایند (Cao *et al.*, 2018). در محیط های آبی، فعالیت های میکروبی اصلی ترین مسیر در تجزیه و حذف PAEs از محیط هستند (Yu *et al.*, 2020). بررسی ها مشخص نموده است که PAEs پس از بتا-اکسیداسیون در بدن موجودات زنده به مونوالکیل فتالات تبدیل می شود که تا ۶ ماه در برخی بافت ها قدرت ماندگاری دارد و موجب بروز اثرات سمی در آنان خواهند شد (Jiao *et al.*, 2020).

نتایج بررسی ها نشان داده است که میزان آسیب های بافتی ناشی از PAEs بستگی تام به غلظت و مدت زمان برخورد بافت ها با آنان دارد. ترکیب دی- اتیل فتالات (DEP)<sup>۲</sup> با فرمول ساختمانی C<sub>12</sub>H<sub>14</sub>O<sub>4</sub> یکی از انواع PAEs می باشد که در محصولات پلاستیکی نظیر اسباب بازی ها، مسواک، چسب نواری، حلال لاک ناخن، پوشش های بسته بندی مواد غذایی و

... مورد استفاده قرار می گیرد. مشخص شده است که یک درصد از DEP موجود در طبیعت با شستشوی انواع پلاستیک ها، به آب های جاری اطراف وارد می شود. در کشور امریکا نیز در حدود ۷۲ تن از DEP به هوا و آب های جاری وارد شده و موجب بروز مسمومیت در موجودات زنده می شود. همچنین بخشی از DEP موجود در طبیعت به صورت تبخیر از محصولات گوناگون وارد اتمسفر می شود و مسمومیت های تنفسی ایجاد می کند. در امریکا میزان حضور DEP در نمونه های آب های آشامیدنی در دامنه ۱-۰/۱۰ میکروگرم در لیتر متغیر است. غلظت ها کم تا حد ۳ میکروگرم در لیتر از PAEs موجب بروز آسیب های بافتی در آریزان می شود (US EPA, 1993; WHO, 2003). از سوی دیگر، میزان حضور و تجمع DEP در بدن ماهیان مختلف ۱/۷-۰/۳ میلی گرم در کیلوگرم محاسبه شده است (DeVault, 1985).

در ارتباط با نوع مکانیسم سمیت DEP، بررسی ها نشان داده است که تیمار رده سلولی PC12 با DEP موجب افزایش غیرطبیعی تولید رادیکال های آزاد اکسیژنی (ROS) و پروتئین Bax شده که در نتیجه آن میزان مرگ سلولی اپوپتازیس<sup>۳</sup> در میان این سلول ها افزایش داشته است (Sun *et al.*, 2012). تیمار سلول های لایدیگرت با DEP موجب متورم شدن میتوکندری ها و شبکه اندوپلاسمی و نیز افزایش تعداد ماکروفاژهای اطراف آنان شده است (Jones *et al.*, 1993). در ماهی *Cirrhina mrigala* مسمومیت با DEP از سویی، موجب کاهش فعالیت استیل کولین استراز در مغز ماهیان و بروز اختلالات حرکتی شده و از سوی دیگر، آسیب های گسترده ساختاری در کبد را به دنبال داشته است (Ghorpade *et al.*, 2002). تیمار ۲۱ روزه با نوع دیگری از فتالات ها (DEHP) (۲۰-۲۰۰ μg/L) در لارو ماهیان گورخری (*Danio rerio*) نیز موجب مهار فعالیت های آنتی اکسیدانی و القاء آسیب های اکسیداتیو گردید (Boran and Terzi, 2019).

بررسی ها در سایر مدل های جانوری نظیر رت ها نشان داده است که تیمار با DEP موجب افزایش وزن کبد و بروز آسیب های غشایی در هیپاتوسیت ها شده است (Pereira *et al.*, 2006). در مطالعه ای دیگر، بروز آسیب های اکسیداتیو پس از ورود

<sup>3</sup> Apoptosis

<sup>1</sup> Phthalate

<sup>2</sup> Di-ethyl phthalate (DEP)

داشتند. ماهیان طلایی در شرایط استاندارد ( $22 \pm 2$ ) درجه سانتی‌گراد و دوره‌های ۱۲-۱۲ ساعت نور- تاریکی) به مدت ۷ روز جهت سازگاری با محیط جدید در آکواریوم‌های شیشه‌ای با ابعاد  $30 \times 40 \times 80$  سانتی‌متر با هوادهی کافی، نگهداری شدند. در هر آکواریوم حداقل ۱۴ قطعه ماهی طلایی وارد شد و آب آنان دو بار در هفته همراه با سیفون کف تعویض می‌شد. ترکیب دی-اتیل فتالات (DEP) ( $C_{12}H_{14}O_4$ , CAS No. 84-) (99.5% purity, 2-66) از شرکت سیگما-الدريج و سایر مواد شیمیایی از طریق شرکت‌های داخلی خریداری گردیدند. در ابتدای کار مقدار  $LC_{50}$  حد ۹۶ ساعته با استفاده از آنالیز Probit در نرم افزار SPSS به میزان  $\geq 4$  میلی گرم در لیتر تعیین گردید (Finney, 1990). در این آزمایش غلظت‌های افزایش‌یابنده ۶-۰/۲۵ میلی گرم در لیتر از DEP (با سه تکرار مستقل و ۱۴ قطعه ماهی) مورد استفاده قرار گرفتند. در ادامه پس از تعیین  $LC_{50}$ ، سه غلظت زیر حدکشندگی  $1/5^{th}$ ،  $1/10^{th}$  و  $1/20^{th}$  از  $DEP LC_{50}$  برای ۷ و ۱۴ روز (با سه تکرار مستقل و ۱۴ قطعه ماهی در هر گروه) در آزمایش‌ها استفاده گردیدند. پس از پایان هر دوره زمانی، نمونه‌های کبد و خون تعدادی از ماهیان خارج و جمع‌آوری گردیدند. برای جمع‌آوری نمونه‌های سرم خون ابتدا ماهیان با محلول بنزوکائین بیهوش گردیده و سپس به سرعت فاصله بین باله‌های دمی مخرجی با تیغ اسکالپل قطع گردید. نمونه‌های خون خارج شده به لوله‌های آزمایش جهت سانتریفیوژ و جداسازی سرم منتقل گردیدند. برای تهیه محلول بیهوشی از پودر بنزوکائین در اتانول استفاده شد. در ادامه برای بیهوش کردن ماهیان، ۱ گرم از محلول مذکور در یک لیتر آب شهری وارد گردید (Nematollahi et al., 2010).

جهت خارج‌سازی خون از بافت نمونه‌های کبدی، پرفیوژن با سالین نرمال به انجام رسید. پس از خرد کردن نمونه‌های کبد در محلول بافر فسفات پتاسیم سرد، به کمک روش اولتراسونیک از آنان هوموژنیت<sup>۱</sup> تهیه گردید. جهت مهار فعالیت پروتئازی به هوموژنیت‌ها PMSF افزوده شد و در فریزر  $-70$  درجه سانتی‌گراد نگهداری شدند. در شروع آزمایش‌ها، هوموژنیت‌ها با  $10000$  دور در دقیقه در دمای  $4$  درجه سانتی‌گراد برای  $10$  دقیقه سانتریفیوژ شد. مایع رویی (سوپرناتانت) حاصله، جدا و

DEP به بدن رت‌ها موجب بروز اختلالات شدید کبدی و تجمع تری‌گلیسیریدها در این اندام شده که منجر به القاء بیماری کبد چرب غیرالکلی شده است (Akhtar, 2015). در کرم‌های خاکی نیز تیمار با غلظت‌های مختلف از PAEs با افزایش سنتز ROS موجب تحریک فعالیت آنزیم‌های آنتی‌اکسیدانی، بروز آسیب‌های گسترده اکسیداتیو و تغییر در ماهیت و عملکرد ژنوم (DNA) شده که در نتیجه این تغییرات از قدرت سازگاری و ماندگاری این جانوران در محیط کاسته شده است (Wang et al., 2019; Song et al., 2018; ROS al., 2018). به متابولیت‌های رادیکالی اکسیژن مولکولی ( $O_2$ ) نظیر رادیکال هیدروکسیل ( $OH^*$ ) و آنیون سوپراکسید ( $O_2^{*-}$ ) گفته می‌شود که در شرایط خاص و غیرطبیعی سنتز آنان در محیط‌های سلولی و بافتی بدن موجودات زنده افزایش می‌یابد و موجب القاء استرس اکسیداتیو (OS) می‌شود. آسیب‌های اکسیداتیو ناشی از OS موجب تغییر در ساختار و فیزیولوژی بافت‌ها خواهد شد. یکی از نتایج نامطلوب OS در غشاهای سلولی، شروع روند پراکسیداسیون لیپیدی (LPO) می‌باشد که ضمن ایجاد تغییر در ساختار غشاهای زیستی، محصولات فرعی نظیر مالون دی‌آلدید (MDA) را تولید می‌کند که این محصول به‌نوبه خود زمینه‌ساز آسیب‌های بعدی در فعالیت آنزیم‌ها و DNA خواهد شد. بررسی‌ها نشان داده است که سلول‌های بدن موجودات زنده برای مواجهه با ROS و شرایط OS مجهز به سیستم‌های دفاع آنتی‌اکسیدانی (آنزیمی و غیرآنزیمی) می‌باشد و به‌سرعت وارد عمل می‌شوند (Halliwell and Gutteridge, 2015). با توجه به آن، امکان رهایش و ورود ذرات DEP موجود در محصولات پلاستیکی به محیط اطراف به‌ویژه منابع آبی، مطالعه حاضر به منظور بررسی اثر هپاتوکسیک احتمالی DEP در ماهیان طلایی (*Carassius auratus*) در شرایط ثابت آزمایشگاهی طراحی و به اجرا در آمده است.

## مواد و روش‌ها

در این مطالعه ماهیان طلایی (*Carassius auratus*) به عنوان مدل جانوری انتخاب گردید و برای این منظور، از فروشگاه‌های ماهیان آکواریومی در شهرستان شهرکرد خریداری شدند. این ماهیان به طور متوسط  $15$  گرم وزن و  $7$  سانتی متر طول

<sup>1</sup> Homogenate

مشخص در طول موج ۵۹۳ نانومتر مشخص و خوانده شد (Benzie et al., 1999).

کیت های تجاری ویژه سنجش تغییرات فعالیت آنزیمی مارکرهای نکرورز کبدی آلانین آمینو ترانسفراز (ALT) (Kit; MAK052 # و آسپاراتات ترانس آمیناز (AST) (Kit; # ERMAD457IFCC از شرکت سیگما-الدریچ تهیه شدند. در انتهای فرایند سنجش، میزان جذب نوری این آنزیم ها در طول موج ۵۴۶ نانومتر به روش اسپکتروفوتومتری تعیین و ثبت گردید.

در تجزیه و تحلیل های آماری نیز تمامی داده ها به صورت  $(SD)^2$  به نمایش درآمدند. از روش ANOVA یک طرفه و پس آزمون Tukey's HSD جهت مقایسه آماری بین گروه ها (در نرم افزار SPSS و سطح معنی داری  $p < 0.05$ ) استفاده شد.

## نتایج

نتایج موجود در شکل ۱ نشان می دهد که محتوی MDA/LPO در تیمارهای مختلف از DEP افزایش یافته است. این افزایش فقط در تیمارهای  $1/5^{th}$ ،  $1/10^{th}$  از  $LC_{50}$  معنی دار ( $p < 0.05$ ) در پایان ۱۴ روز تیمار با DEP بوده است. بیشترین محتوی LPO نیز در تیمار  $1/5^{th}$  از  $LC_{50}$  در ۱۴ روزه به میزان  $57/60$  درصد نسبت به گروه شاهد مربوطه بود. افزایش محتوی LPO به صورت وابسته به افزایش غلظت فتالات بود (شکل ۱). داده های موجود در شکل ۲ نیز بیانگر تاثیر تیمارهای DEP بر تغییرات محتوی CP بوده که نشانگر سیر افزایشی وابسته به افزایش غلظت فتالات می باشد. بیشترین میزان افزایش در محتوی CP مربوط به تیمار  $1/5^{th}$  از  $LC_{50}$  به میزان  $49/37$  درصد در پایان ۱۴ روز تیمار با DEP نسبت به گروه شاهد مربوطه بوده است ( $p < 0.05$ ) (شکل ۲).

در شکل ۳ نتایج تاثیر تیمارهای DEP بر میزان TAC در هوموژنیت کبد ماهیان طلایی نشان داده شده که سیر کاهشی وابسته به افزایش غلظت فتالات مشاهده می شود. کمترین میزان TAC مربوط به تیمار  $1/5^{th}$  از  $LC_{50}$  به میزان  $52/99$  درصد در پایان ۱۴ روز تیمار با DEP نسبت به گروه شاهد مربوطه بوده است ( $p < 0.05$ ) (شکل ۳).

در ادامه کار مورد استفاده قرار گرفت (Torabi Farsani et al., 2021).

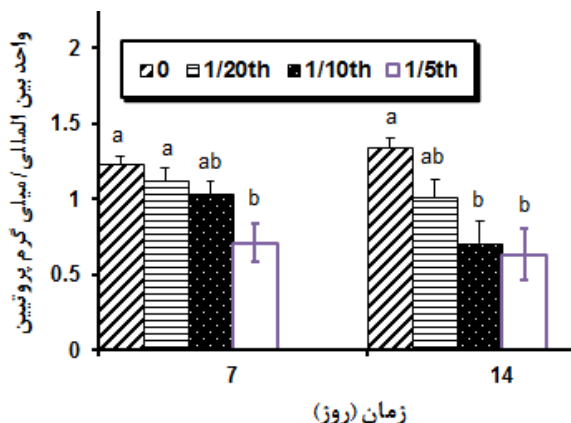
برای اندازه گیری غلظت مالون دی آلدیید به عنوان محصول نهایی روند پراکسیداسیون لیپیدها (MDA/LPO) در نمونه های کبد از تست سنجش میزان TBARS یا محصولات LPO واکنش دهنده با اسید باربی تیوریک (TBA) استفاده گردید که به کمک آن به طور غیرمستقیم میزان نسبی تولید LPO شده در نمونه های کبد تعیین گردید. در این سنجش، یک میلی لیتر از TCA ۱۰ درصد به سوپرناتانت نمونه های کبدی اضافه گردید. پس از آن، مخلوط حاصل با دور  $5000 \times g$  به مدت ۱۰ دقیقه سانتریفیوژ شده و به مایع بالای سانتریفیوژ محلول TBA اضافه شد و در آخر نیز میزان جذب نوری MDA در طول موج ۵۳۲ نانومتر مشخص و ثبت گردید (Buege and Aust, 1978).

در اندازه گیری محتوی پروتئین های کاربولینه (CP)<sup>۱</sup> یا میزان پروتئین های اکسید شده در هوموژنیت نمونه های کبدی،  $0/5$  میلی لیتر از DNP (۲-۴-دی نیتروفنیل هیدرازین) ۱۰ میلی مولار (در اسید کلریدریک) به سوپرناتانت ها اضافه و برای یک ساعت در دمای اتاق انکوبه شد. پس از افزودن محلول ۱۰ درصد TCA، مخلوط جدید برای ۲۰ دقیقه با دور  $3000 \times g$  سانتریفیوژ شد. رسوب حاصله شستشو داده شده و در ترکیب گوانیدین با فسفات پتاسیم (pH برابر ۲/۳) حل گردید. پس از ۱۵ دقیقه میزان جذب نوری در طول موج ۳۷۰ نانومتر ثبت شد (Levine et al., 1994).

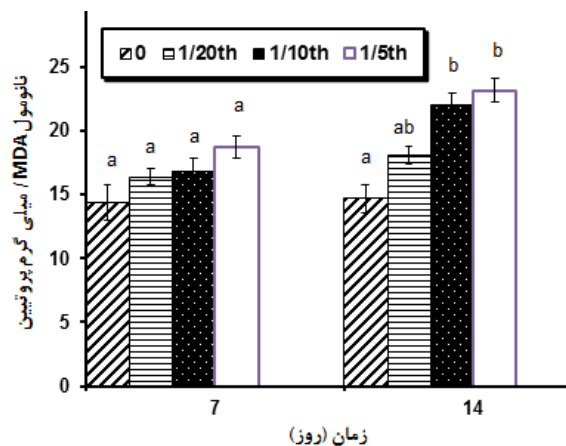
برای اندازه گیری ظرفیت آنتی اکسیدانی تام (TAC) در عصاره کل کبد ماهیان، از تست FRAP استفاده شد. در این سنجش کمپلکس تری پیریدیل تریازین فریک (Fe (III)-TPTZ) زرد رنگ تحت تاثیر خاصیت احیاءکنندگی ترکیبات آنتی اکسیدانی موجود در سوپرناتانت هوموژنیت کبدها به کمپلکس فرس آبی رنگ تغییر ماهیت داد. میزان شدت رنگ آبی به صورت خطی مرتبط با قدرت آنتی اکسیدانی نمونه های کبدی بود. در این روش  $1/5$  میلی لیتر از محلول تازه FRAP به  $1$  میلی لیتر از سوپرناتانت ها اضافه و در دمای ۳۷ درجه سانتی گراد به مدت ۱۰ دقیقه انکوبه گردیدند. در انتها، میزان جذب نوری کمپلکس آبی رنگ تولیدی (Fe<sup>2+</sup>-TPTZ) طی ۴ مدت دقیقه با فواصل

<sup>2</sup> Means  $\pm$  Standard Deviation (SD)

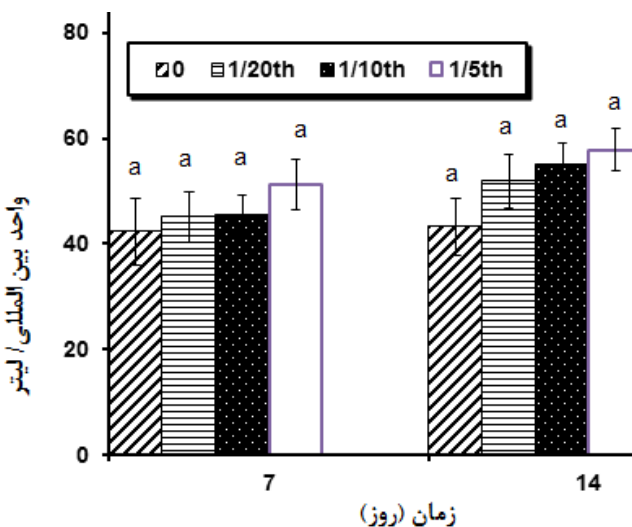
<sup>1</sup> Carbonylated proteins (CP)



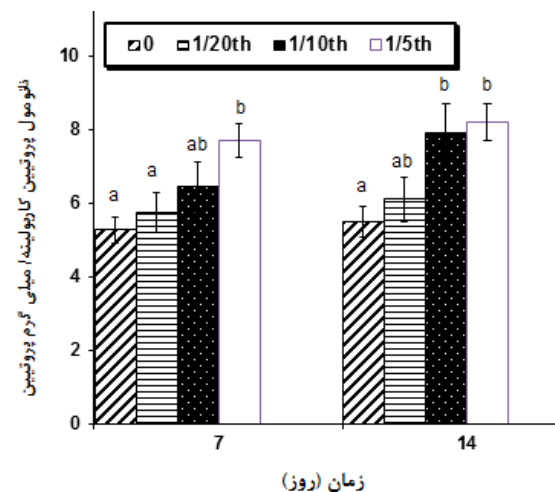
شکل ۳: تغییر در میزان TAC کبد ماهیان تیمار شده با DEP. حروف غیرهمنام اختلاف معنی دار در  $p < 0.05$  دارند.



شکل ۱: تغییر در محتوی LPO/MDA کبد ماهیان تیمار شده با DEP. حروف غیرهمنام اختلاف معنی دار در  $p < 0.05$  دارند.



شکل ۴: تغییر در فعالیت ALT خون ماهیان تیمار شده با DEP. حروف غیرهمنام اختلاف معنی دار در  $p < 0.05$  دارند.



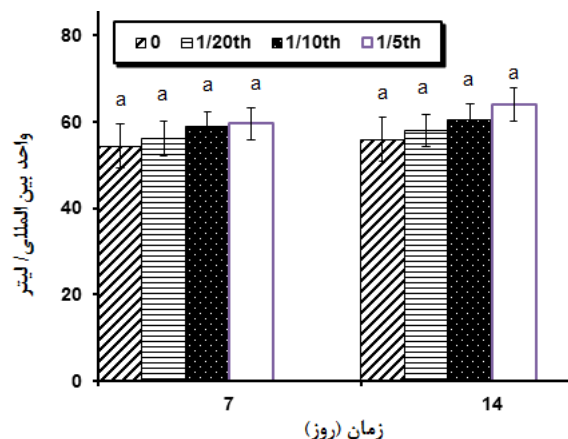
شکل ۲: تغییر در محتوی CP کبد ماهیان تیمار شده با DEP. حروف غیرهمنام اختلاف معنی دار در  $p < 0.05$  دارند.

بررسی و مقایسه آماری در شکل ۵ نشانگر افزایش نسبی غیر معنی دار ( $p > 0.05$ ) در فعالیت AST در خون ماهیان طلایی به دنبال تیمار با DEP است. همچنین مشخص گردید که این افزایش نسبی در فعالیت AST با افزایش غلظت فتالات پدیدار شده است. بیشترین میزان فعالیت این آنزیم مربوط به نتیجه تیمار ۱۴ روزه با غلظت  $1/5^{\text{th}}$  از  $LC_{50}$  به میزان ۱۴/۶۴ درصد نسبت به گروه شاهد مربوطه بوده است ( $p > 0.05$ ) (شکل ۵).

در شکل ۴ داده‌های مربوط به تاثیر تیمارهای DEP بر فعالیت ALT در نمونه‌های خون ماهیان طلایی نشان داده شده است. بررسی آماری نشان‌دهنده افزایش نسبی غیرمعنی‌دار ( $p > 0.05$ ) در فعالیت ALT متناسب با افزایش غلظت فتالات بوده است. بیشترین میزان فعالیت ALT مربوط به تیمار  $1/5^{\text{th}}$  از  $LC_{50}$  در پایان ۱۴ روز تیمار با DEP به میزان ۳۳/۸۳ درصد نسبت به گروه شاهد مربوطه بوده است ( $p > 0.05$ ) (شکل ۴).

نتیجه آن اختلالات کبدی در آنان بوده است. در همین مطالعه مشخص گردید که سمیت DEP موجب افزایش غلظت گلوکوتائون احیاء شده (GSH) درون سلولی شده است که در سمیت‌زدایی و کاهش آسیب‌های اکسیداتیو نقش مهمی بر عهده دارد (Kang *et al.*, 2010). در هم سوئی با نتایج مذکور، Latif و همکاران (۲۰۱۹) نیز نشان دادند که تیمارهای DEP موجب گسترش LPO و آسیب‌های مربوطه در کبد ماهی *Labeo rohita* شده است. علاوه بر این، آسیب‌های بافتی ناشی از تاثیر DEP در کبد بچه ماهیان *Clarias gariepinus* شامل تخریب پارانشیم، انسداد سینوزویدها و کاهش ذخیره گلیکوژن و چربی‌ها بوده است (Ikele *et al.*, 2011). در مطالعه‌ای دیگر مشخص گردید که تعدادی از فتالات‌ها از جمله DEP با القاء OS موجب تغییر فعالیت برخی از آنزیم‌های آنتی‌اکسیدانی در کبد ماهیان طلائی می‌شوند (Zheng *et al.*, 2013). از سوی دیگر، در تیمارهای DEP نیز به علت افزایش حجم پراکسیزوم‌های هیپاتوسیتی، افزایش نسبی در وزن و سایز کبد جانوران مشاهده می‌شود (Okita and Okita, 1992). تیمار با DEP در موش‌های سفید ماده نژاد سوئسی موجب افزایش آسیب‌های اکسیداتیو ناشی از گسترش OS در کبد شده است (Prajapati and Verma, 2014).

نتایج مطالعه حاضر نشان‌دهنده افزایش محتوی CP (پروتئین‌های کاربولینه یا اکسید شده) در کبد ماهیان طلائی است. تغییرات محتوی CP یکی از مارکرهای مهم در تشخیص القاء استرس اکسیداتیو و آسیب‌های مربوطه در محیط‌های سلولی است که کاربرد زیادی در تعیین مکانیسم سمیت انواع آلاینده‌ها دارد (Reznick *et al.*, 1992). MDA و سایر محصولات روند LPO نظیر ۲-هگزانال، با گروه‌های آمینی در اسید آمینه‌هایی نظیر لیزین یا گروه‌های سولفیدریل در اسید آمینه سیستئین واکنش می‌دهد و در نتیجه، پروتئین‌های مرتبط با این اسید آمینه‌ها، کاربولینه و غیرفعال می‌شوند. این تغییرات موجب بروز اختلالات و ناپایداری‌های سلولی در ساختار غشاهای زیستی خواهد شد. گروه‌های کاربولینه در CP ها از ماهیت برگشت‌ناپذیر و پایدار برخوردارند و به همین علت اختلالات سلولی نیز ماندگارتر خواهند بود (Dalle-Donnea *et al.*, 2003; Cecarini *et al.*, 2007; Purdel *et al.*, 2014). در پژوهش حاضر تیمارهای DEP موجب افزایش



شکل ۵: تغییر در فعالیت AST خون ماهیان تیمار شده با DEP. حروف غیرهمنام اختلاف معنی‌دار در  $p < 0.05$  دارند.

## بحث

یکی از پیامدهای منفی القاء OS در غشاهای سلولی، گسترش روند LPO و آسیب‌های مربوطه بوده است که در این میان MDA به عنوان یکی از محصولات فرعی LPO زمینه‌ساز بروز آسیب‌های بعدی و بیش‌تر در سلول‌ها خواهد بود. MDA با ایجاد پل‌های عرضی بین ماکرومولکول‌ها موجب تغییرات ساختاری و عملکردی منفی در آنان می‌شود (Halliwell and Gutteridge, 2015). در مطالعه حاضر تیمار با DEP موجب گسترش روند LPO در بافت کبد ماهیان طلائی شده است. بررسی‌ها نشان داده که DEP در شرایط برون‌تنی (*in vitro*) و نیز درون‌تنی (*in vivo*) موجب افزایش رادیکال‌های آزاد و گسترش آسیب‌های اکسیداتیو می‌شود (Sun *et al.*, 2012; Boran and Terzi, 2019). در هم سوئی با نتایج مطالعه حاضر، نتایج سایر بررسی‌ها نشان داده است که برای مثال، DEP در ماهی *Cirrhina mrigala* موجب بروز تغییرات منفی در کبد این ماهی شده که متناسب با گسترش LPO در غشاهای هیپاتوسیت‌های این ماهیان بوده است (Ghorpade *et al.*, 2002). در مطالعه Kang و همکاران (۲۰۱۰) نیز مشخص شد که تیمار بچه ماهیان *C. gariepinus* با DEP موجب گسترش روند LPO و افزایش میزان پروتئین‌های اکسید شده در سلول‌های کبدی این ماهیان شده است (Ikele *et al.*, 2016). همچنین تیمارهای DEP در ماهیان *Paralichthys olivaceus* موجب القاء OS و گسترش آسیب‌های اکسیداتیو و افزایش روند LPO در هیپاتوسیت‌های این ماهیان بوده که

محیط درون بدن این جانوران دور نموده‌اند. با این عمل، به مرور زمان از میزان و قدرت سیستم‌های آنتی‌اکسیدانی در بافت کبد ماهیان مورد آزمایش کاسته شده و به همین سبب در پژوهش حاضر از میزان عددی FRAP در تیمار با DEP کاسته شده و افت میزان TAC مشاهده شده است. در تست FRAP شیوه مورد استفاده سیستم آنتی‌اکسیدانی غیرآنزیمی نظیر گلوکاتایون احیاء شده یا ویتامین‌ها برای خنثی‌سازی رادیکال‌های آزاد با انتقال تک الکترون به این عوامل اکسیدان بوده که نتیجه آن احیاء‌شدگی اکسیدان‌ها و کاهش میزان TAC خواهد بود (Haung *et al.*, 2005). بر همین اساس می‌توان عنوان نمود که آنتی‌اکسیدان‌های کبدی با انتقال تک الکترون‌ها به رادیکال‌های آزاد موجب خنثی‌سازی آنان شده که به کمک تست FRAP به اثبات رسیده است. بدین ترتیب، در مطالعه حاضر بافت کبد در شرایط زیستی غیرطبیعی (آلودگی با DEP)، به مقابله با این شرایط نامطلوب پرداخته است. تست FRAP مصارف دیگری نیز دارد. برای مثال، از این روش جهت دسته‌بندی عصاره‌های مختلف گیاهی از نظر تفاوت در توان آنتی‌اکسیدانی استفاده می‌شود (Szollosi and Varga, 2002) یا در بدن آبزیان به منظور ارزیابی تاثیر سمیت آلاینده های محیطی کاربرد دارد (Hagger *et al.*, 2005).

کبد از جمله اندام‌های مهم و حیاتی در بدن جانوری است که در خنثی‌سازی آلاینده‌های محیطی وارد شده به بدن و نیز دفع مازاد مواد با منشأ از داخل بدن به طور موثر وارد عمل شده و در حین انجام وظیفه نیز با آسیب‌های سلولی و بافتی زیادی روبرو می‌گردد. ترانس آمینازهای ALT و AST از جمله مارکرهای نکرز کبدی بوده که غلظت و میزان فعالیت آنان پس از آسیب‌های کبدی در خون افزایش می‌یابد. آلاینده‌های محیطی از طریق مکانیسم‌هایی نظیر التهاب، OS و مرگ سلولی موجب تحریب هپاتوسیت‌ها و رهایش ALT و AST به جریان خون می‌شوند (Adeniyi *et al.*, 2010; Yao *et al.*, 2019). بر همین اساس می‌توان اظهار نمود که در پژوهش حاضر تیمارهای DEP با افزایش روندهای اکسیداسیون سلولی (LPO و CP) موجب ناپایداری و تخریب غشاء هپاتوسیت‌های کبدی شده که در نتیجه، رهایش مارکرهای ALT و AST به درون خون به انجام رسیده است. در مقایسه با سایر بافت‌ها، بیش‌ترین میزان ترانس آمینازهای ALT و AST در کبد وجود دارد. این

میزان MDA در کبد ماهیان طلائی تیمار شده گردید. لذا، بر این اساس می‌توان اظهار نمود که MDA افزایش‌یافته در افزایش محتوی CP در این آزمایش‌ها دخالت مستقیم داشته و متناسب با افزایش MDA بر محتوی CP نیز افزوده گردیده است. CP ها از روش‌های دیگری نیز تولید می‌شوند از جمله، کلیواژ اکسیداتیو پروتئین‌ها می‌تواند از طریق مسیر آلفا- آمیداسیون یا اکسیداسیون زنجیره‌های جانبی گلوتامیل صورت گیرد که در نتیجه، پپتیدهای غیرطبیعی که در آنان انتهای آمینی اسیدهای امینه به‌وسیله مشتقات کتواسیل مسدود شده‌اند، پدیدار می‌گردند (Berlett and Stadtman, 1997). در Amara و همکاران (۲۰۲۰) مشخص کردند که فتالات‌ها موجب افزایش محتوی CP در ساختارهای سلولی در کلیه موش‌ها می‌شوند (Amara *et al.*, 2020). همچنین تاثیر سمی سایر فتالات‌ها نظیر DEHP موجب افزایش محتوی CP در سلول‌های قلب موش‌ها شده که در نتیجه، کارکرد طبیعی قلب با مشکلات جدی روبرو شده است (Amara *et al.*, 2019).

موجودات هوازی همیشه در معرض اثرات آسیب‌رسان اکسیژن مولکولی (O<sub>2</sub>) بوده که این جنبه از عملکرد اکسیژن در ارتباط با افزایش بیش از حد این گاز و سنتز غیرطبیعی انواع ROS در محیط‌های سلولی و مایعات بدن است. انواع ROS ضمن اکسیداسیون ماکرومولکول‌های زیستی موجب کاهش کارایی سلولی و کاهش طول عمر آنان (القاء مرگ سلولی) نیز می‌شوند. در مواجهه با این فرآیند آسیب‌رسان، سیستم‌های دفاعی آنتی‌اکسیدانی (آنزیمی و غیر آنزیمی) وارد عمل می‌شوند. آنتی‌اکسیدان‌ها ترکیباتی هستند که رادیکال‌های آزاد نظیر ROS را پس از خنثی‌سازی از محیط درونی بدن موجود زنده دور و حذف می‌کنند. در درون سلول و سطح غشاء سلول‌ها سیستم‌های آنتی‌اکسیدانی وجود دارند و به‌موقع عمل می‌کنند (Halliwell and Gutteridge, 2015). در پژوهش حاضر نیز با استفاده از تست FRAP که طی آن آهن فریک به فروس احیاء می‌گردد، میزان TAC در هوموژنیت کبد ماهیان طلائی تیمار شده با DEP اندازه‌گیری شد. از آنجایی‌که بر اساس نتایج موجود در این پژوهش مشخص گردید که DEP موجب القاء استرس اکسیداتیو (افزایش تولید رادیکال‌های آزاد در بافت کبد) می‌شود، لذا سیستم‌های دفاع آنتی‌اکسیدانی به مقابله با عملکرد این رادیکال‌ها پرداخته و ضمن خنثی‌سازی، آنان را از

### نتیجه گیری

در پژوهش حاضر نشان داده شد که DEP واجد توان القاء استرس اکسیداتیو و آسیب‌های سلولی مربوطه در بافت کبد ماهیان طلایی است. آسیب‌های اکسیداتیو به صورت گسترش روند LPO و افزایش محتوی CP در هوموژنیت‌های کبدی به اثبات رسید. همچنین کاهش میزان TAC بیانگر افزایش غیرطبیعی رادیکال‌های آزاد و مصرف سیستم‌های آنتی‌اکسیدانی در کبد ماهیان تیمار شده با DEP بوده است. افزایش میزان مارکرهای نکرورز کبدی (ALT و AST) نیز نشانگر افزایش نفوذپذیری هیپاتوسیت‌های کبدی بوده است. بر اساس این یافته‌ها، DEP موجب بروز هیپاتو توکسیسیته در ماهیان طلایی شده است.

### تشکر و قدردانی

از مدیریت محترم شرکت سروش رویش سلامت بام ایرانیان (شناسه ملی: ۱۴۰۰۷۶۶۷۵۸۶) جناب آقای علی عربی بابت حمایت‌های مالی و کارگاهی، از مسئولین وقت دانشگاه شهرکرد بابت پشتیبانی آزمایشگاهی و آقای دکتر محمد شادخواست به جهت پیشنهادهای ارزنده‌شان، تشکر و قدردانی می‌گردد.

### منابع

- Adeniyi, A.F., Adeleye, J. and Adeniyi, C.Y., 2010. Diabetes, Sexual Dysfunction and Therapeutic Exercise: A 20 Year Review. *Current Diabetes Reviews*, 6(4): 201-206.
- Akhtar, S., 2015. Histopathological evaluation of di-ethyl phthalate induced hepatotoxicity on rat. *MOJ Toxicology*, 1(4): 133-136.
- Amara, I., Timoumi, R., Annabi, E., Neffati, F., Najjar, M.F., Bouaziz, C. and Abid-Essefi, S., 2019. Di (2-ethylhexyl) phthalate induces cardiac disorders in BALB/c mice. *Environmental Science and Pollution Research*, 26: 7540-7549.
- Amara, I., Salah, A., Timoumi, R., Annabi, E., Scuto, M., Trovato, A., Neffati, F., Calabrese,

آنزیم‌ها در میتوکندری‌های هیپاتوسیت‌ها مستقر هستند و در متابولیسم اسید آمینه‌های نوع L در مسیر گلوکونئوزنز وارد شده و موجب پیوند بین متابولیسم پروتئین‌ها و قندها می‌شوند (Di Giulio et al., 2008; Amjad et al., 2018). آن‌جایی که جایگاه استقرار این دو ترانس آمیناز در میتوکندری سلول‌ها می‌باشد، لذا می‌توان عنوان نمود که تیمارهای DEP از سویی، موجب تخریب ساختار میتوکندری‌ها شدند و از سوی دیگر، با افزایش نفوذپذیری غشاء هیپاتوسیت‌ها، موجبات نشت و رهايش این دو آنزیم به جریان خون را فراهم آورده‌اند. Srivastava و همکاران (۲۰۰۴) نیز مشخص کردند که آلاینده‌ها با افزایش غیرطبیعی سنتز ROS، موجب افزایش نفوذپذیری و تخریب سلول‌های بدن ماهیان به‌ویژه هیپاتوسیت‌ها شده که نتیجه آن افزایش غلظت پلاسمایی ALT و AST بوده است (Srivastava et al., 2004). در مطالعه Nematdoost و Banaee (۲۰۱۷) تیمار با میکروپلاستیک‌ها و آفت‌کش پاراکوات موجب افزایش حضور و فعالیت ALT و AST در خون ماهیان کپور معمولی گردید (Nematdoost and Banaee, 2017). تیمار ماهی دریایی *Paralichthys olivaceus* با DEP از سویی، موجب گسترش OS شده و از سوی دیگر، موجب افزایش معنی‌دار غلظت سرومی ALT و AST در خون این ماهیان شده است (Kang et al., 2010). Latif و همکاران (۲۰۱۹) نشان دادند که تیمارهای DEP موجب القاء OS، گسترش LPO و آسیب‌های بافتی در کبد ماهیان *Labeo rohita* شده که در نتیجه، میزان ALT و AST نیز در خون افزایش معنی‌دار یافته است. اثرات مسمومیت با DEP در ماهی آب شیرین *Cirrhina mrigala* نیز موجب افزایش فعالیت آنزیم‌های مارکر نکرورز کبدی (ALT&AST) در نمونه‌های خون گردیده است (Ghorpade et al., 2002). علاوه‌براین، آلودگی آبها با ذرات میکرو پلاستیک نیز موجب افزایش سطوح ALT و AST، کلسترول و کراتینین در خون ماهیانی نظیر گوبی معمولی (*P. microps*) و تیلاپیای نیل شده است (Oliveira et al., 2013; Hamed et al., 2019). در جانوران غیر آبی (رت‌ها) تیمار با DEP موجب افزایش وزن کبد و بالا رفتن غلظت پلاسمایی ALT و AST شده که به عنوان شاخص بروز آسیب‌های غشایی در هیپاتوسیت‌ها در نظر گرفته می‌شوند (Pereira et al., 2006).

- Biochimica et Biophysica Acta*, 1773(2): 93-104.
- Dalle-Donnea, I., Rossib, R., Giustarinib, D., Milzania, A. and Colombo, R., 2003.** Protein carbonyl groups as biomarkers of oxidative stress. *Clinica Chimica Acta*, 329: 23-38.
- DeVault, D.S., 1985.** Contaminants in fish from Great Lakes harbors and tributary mouths. *Archives of Environmental Contamination and Toxicology*, 14: 587-594.
- Di Giulio, R.T. and Hinton, D.E., 2008.** The Toxicology of Fishes. Taylor and Francis, pp. 632-884.
- Finney, D., 1990.** Probit Analysis. Cambridge University Press. pp: 1-222.
- Ghorpade, N., Mehta, V., Khare, M., Sinkar, P., Krishnan, S. and Vaman Rao, C., 2002.** Toxicity Study of Diethyl Phthalate on Freshwater Fish *Cirrhina mrigala*. *Ecotoxicology and Environmental Safety*, 53: 255-258.
- Golestanzadeh, M., Riahi, R. and Kelishadi, R., 2019.** Association of exposure to phthalates with cardiometabolic risk factors in children and adolescents: a systematic review and meta-analysis. *Environmental Science and Pollution Research*, 26: 35670-35686.
- Hagger, J.A., Depledge, M.H. and Galloway, T.S., 2005.** Toxicity of tributyltin in the marine mollusc *Mytilus edulis*. *Marine Pollution Bulletin*, 51(8-12): 811-816.
- Halliwell, B. and Gutteridge, J.M., 2015.** Free radicals in biology and medicine. 5<sup>th</sup> edition. Oxford university press.
- V. and Abid-Essefi, S., 2020.** Effect of di (2-ethylhexyl) phthalate on Nrf2-regulated glutathione homeostasis in mouse kidney. *Cell Stress and Chaperones*, 25: 919-928.
- Amjad, S., Sharma, A.K. and Serajuddin M., 2018.** Toxicity assessment of cypermethrin nanoparticles in *Channa punctatus*: Behavioural response, micronuclei induction and enzyme alteration. *Regulatory Toxicology and Pharmacology*, 100: 127-133.
- Benzie, I.F.F., Chung, W.Y. and Strain, J.J., 1999.** Antioxidant (reducing) efficiency of ascorbate in plasma is not affected by concentration. *Journal of Nutritional Biochemistry*, 10(3): 146-150.
- Berlett, B.S. and Stadtman, E.R., 1997.** Protein oxidation in aging, disease, and oxidative stress. *Journal of Biological Chemistry*, 272: 20313-6.
- Boran, H. and Terzi, S., 2019.** Bis (2-ethylhexyl) phthalate induces DNA strand breaks and gene expression alterations in larval zebrafish *Danio rerio*. *Toxicology and Industrial Health*, 35: 520-529.
- Buege, J.A. and Aust, S.D., 1978.** Microsomal lipid peroxidation. *Methods in Enzymology*, 52: 302-310.
- Cao, L., Zhang, C.S., Chen, Q.L. and Wei, W., 2018.** Progress in the study of environmental pollution and ecological behavior and toxicological effects of phthalate ester. *Asian Journal of Ecotoxicology*, 13(2): 34-46.
- Cecarini, V., Gee, J., Fioretti, E., Amici, M., Angeletti, M., Eleuteri, A.M. and Keller, J.N., 2007.** Protein oxidation and cellular homeostasis: Emphasis on metabolism.

- Hamed, M., Soliman, H.A.M., Osman, A.G.M. and Sayed, A.E.-D.H., 2019.** Assessment the effect of exposure to microplastics in Nile Tilapia (*Oreochromis niloticus*) early juvenile: I. blood biomarkers. *Chemosphere*, 228: 345-350.
- Nematdoost Haghi, B. and Banaee, M., 2017.** International journal of Environmental Science and Technology 14(3)
- Ikele, C.B., Mgbenka, B.O. and Oluah, N.S., 2011.** Histopathological effects of diethyl phthalate on *clarias gariepinus* juveniles. *Animal Research International*, 8(3): 1431-1438.
- Ikele, C.B., Obiezue, R.N.N., Okoye, I.C. and Otuu, C.A., 2016.** Lipid Peroxidation and Some Antioxidant Enzymes of *C. gariepinus* Fingerlings Exposed to Diethyl Phthalate. *Journal of Advances in Biology & Biotechnology*, 5(3): 1-6.
- Jiao, Y.Q., Tao, Y., Yang, Y., Diogene, T., Yu, H., He, Z.Q., Han, W., Chen, Z.B., Wu, P. and Zhang, Y., 2020.** Monobutyl phthalate (MBP) can dysregulate the antioxidant system and induce apoptosis of zebrafish liver. *Environmental Pollution*, 257: 113517.
- Jones, H., Garside, D., Liu, R. and Roberts, J., 1993.** The Influence of Phthalate Esters on Leydig Cell Structure and Function in Vitro and in Vivo. *Experimental and Molecular Pathology*, 58(3): 179-193.
- Kang, J.C., Jee, J.H., Koo, J.G., Keum, Y.H., Jo, S.G. and Park, K.H., 2010.** Anti-oxidative status and hepatic enzymes following acute administration of diethyl phthalate in olive flounder *Paralichthys olivaceus*, a marine culture fish. *Ecotoxicology and Environmental Safety*, 73: 1449-1455.
- Latif, M., Faheem, M. and Asmatullah, 2019.** Study of oxidative stress and histo-biochemical biomarkers of diethyl phthalate induced toxicity in a cultureable fish, *Labeo rohita*. *Pakistan Veterinary Journal*, 40(2): 202-208.
- Levine, R.L., Williams, J.A., Stadtman, E.P. and Shacter, E., 1994.** Carbonyl assay for determination of oxidatively modified proteins. *Methods in Enzymology*, 233: 346-357.
- Nematollahi, A., Bigham, A.S., Karimi, I. and Abbasi, F., 2010.** Reactions of goldfish (*Carassius auratus*) to three suture patterns following full thickness skin incisions. *Veterinary Science*, 89: 451-454.
- Okita, R.T. and Okita, J.R., 1992.** Effects of diethyl phthalate and other plasticizers on laurate hydroxylation in rat liver microsomes. *Pharmacology Research*, 9: 1648-1653.
- Oliveira, M., Ribeiro, A., Hylland, K. and Guilhermino, L., 2013.** Single and combined effects of microplastics and pyrene on juveniles (0+ group) of the common goby *Pomatoschistus microps* (Teleostei, Gobiidae). *Ecological Indicators*, 34: 641-647.
- Pereira, C., Mapuskar, K. and Rao, C.V., 2006.** Chronic toxicity of diethyl phthalate in male Wistar rats-A dose-response study. *Regulatory Toxicology and Pharmacology*, 45(2): 169-177.
- Prajapati, H. and Verma, R.J., 2014.** Diethyl Phthalate Causes Oxidative Stress: An in Vitro Study. *Iranian Journal of Toxicology*, 8(24): 1011-1016.
- Purdel, N.C., Margina, D. and Ilie, M., 2014.** Current Methods Used in the Protein Carbonyl

- Assay. *Annual Research & Review in Biology*, 4(12): 2015-2026.
- Reznick, A.Z., Witt, E., Matsumoto, M. and Packer, L., 1992.** Vitamin E inhibits protein oxidation in skeletal muscle of resting and exercised rats. *Biochemistry Biophysics Research Communication*, 189: 801.
- Song, P., Gao, J., Li, X., Zhang, C., Zhu, L., Wang, J. and Wang, J., 2019.** Phthalate induced oxidative stress and DNA damage in earthworms (*Eisenia fetida*). *Environment International*, 129: 10-17.
- Srivastava, A.S., Oohara, I., Suzuki, T., Shenouda, S., Singh, S.N., Chauhan, D.P. and Carrier, E., 2004.** Purification and properties of cytosolic alanine aminotransferase from the liver of two freshwater fish, *Clarias batrachus* and *Labeo rohita*. *Comparative Biochemistry and Physiology Part B: Biochemistry and Molecular Biology*, 137(2): 197-207.
- Sun, Y., Takahashi, K., Hosokawa, T., Saito, T. and Kurasaki, M., 2012.** Diethyl Phthalate Enhances Apoptosis Induced by Serum Deprivation in PC12 Cells. *Basic & Clinical Pharmacology & Toxicology*, 111: 113-119.
- Szollosi, R. and Varga, I.S., 2002.** Total antioxidant power in some species of labiatae (Adaptation of FRAP method). *Acta Biologica Szegediensis*, 46(3): 125-127.
- Torabi Farsani, A., Arabi, M. and Shadkhast, M., 2021.** Ecotoxicity of chlorpyrifos on earthworm *Eisenia fetida* (Savigny, 1826): Modifications in oxidative biomarkers. *Comparative Biochemistry and Physiology Part C*, 249: 109145.
- US EPA (United State Environmental Protection Agency) 1993.** Integrated Risk Information System: Diethyl phthalate (CASRN 84-66-2). Environmental Protection Agency, Washington DC, USA.
- Wang, G., Wang, J., Zhu, L., Wang, J., Li, H., Zhang, Y., Liu, W. and Gao, J., 2018.** Oxidative damage and genetic toxicity induced by DBP in earthworms (*Eisenia fetida*). *Archives of Environmental Contamination and Toxicology*, 74(4): 527-538.
- WHO (World Health Organization), 2003.** DIETHYL PHTHALATE. Concise International Chemical Assessment Document 52, Geneva, ISSN 1020-6167.
- Yao, Y., Zang, Y., Qu, J., Tang, M. and Zhang, T., 2019.** The toxicity of metallic nanoparticles on liver: the subcellular damages, mechanisms, and outcomes. *International Journal of Nanomedicine*, 14: 8787-8804.
- Yu, H., Wang, L., Lin, Y.L., Liu, W.X., Tuyiringire, D., Jiao, Y.Q., Zhang, L., Meng, Q.J. and Zhang, Y., 2020.** Complete metabolic study by dibutyl phthalate degrading *Pseudomonas* sp. DNB-S1. *Ecotoxicology and Environmental Safety*, 194: 110378.
- Zheng, Q., Feng, M. and Dai, Y., 2013.** Comparative antioxidant responses in liver of *Carassius auratus* exposed to phthalates: an integrated biomarker approach. *Environmental Toxicology and Pharmacology*, 36(3): 741-749.

## Hepatotoxic evaluation in di-ethyl phthalate (DEP)-exposed goldfish

Arabi M.<sup>1,2\*</sup>; Kazemi Hossein-Abadi S.<sup>1</sup>; Arabi A.<sup>2</sup>

\*mehranarabi@hotmail.com

1- Animal sciences group, Faculty of basic sciences, Shahrekord university, Shahrekord, Iran.

2- R&D Unit of SRS Limited Co., Shahrekord, Iran.

### Abstract

The extensive use of di-ethyl phthalate (DEP) as a plasticizer in plastic products, is a major threat to organisms as it leaches out easily from the plastic matrix into the environment. In this study, we evaluated the hepatotoxicity in goldfish (*Carassius auratus*) upon treatment with DEP. The 96 hr acute DEP LC<sub>50</sub> value was determined as  $\geq 4$  mg/L, using probit analysis. Three sub-lethal concentrations, 1/5<sup>th</sup>, 1/10<sup>th</sup> & 1/20<sup>th</sup> of DEP LC<sub>50</sub> were used for 7 and 14 days. Blood and liver samples were taken out, following liver perfusion with saline, homogenates were made. In this study, the content of lipid peroxidation (LPO/MDA) as a marker for membrane disorders, content of carbonylated proteins (CP), and the levels of ALT and AST (as hepatic necrosis markers) were increased in the liver of DEP-treated fish. Meanwhile, the total antioxidant capacity (TAC) was found to be lowered in liver homogenates. In brief, DEP caused hepatotoxicity in fish through induction of oxidative stress followed by cell membrane instability.

**Keywords:** Phthalate, Fish, Oxidative stress, Antioxidants, Hepatic necrosis markers